

Supplementary Material: Phylogeography and the Evolutionary History of Sunflower (*Helianthus annuus* L.): Wild Diversity and the Dynamics of Domestication

Brian Park and John M. Burke

Table S1. Pairwise F_{ST} estimates between the cultivated accessions and common sunflower populations.

Cult.	TX1	TX2	NM1	OK1	KS1	KS2	NE1	NE2	CO1	CO2	CO3	WY1	MT1	MT1	AB1
TX1	0.423														
TX2	0.339	0.158													
NM1	0.363	0.179	0.091												
OK1	0.352	0.193	0.094	0.124											
KS1	0.335	0.193	0.107	0.134	0.130										
KS2	0.317	0.194	0.097	0.121	0.114	0.081									
NE1	0.320	0.194	0.100	0.121	0.113	0.106	0.075								
NE2	0.340	0.208	0.110	0.124	0.118	0.128	0.095	0.099							
CO1	0.364	0.214	0.123	0.129	0.153	0.160	0.142	0.139	0.143						
CO2	0.443	0.296	0.204	0.218	0.229	0.231	0.220	0.220	0.227	0.212					
CO3	0.433	0.284	0.196	0.212	0.223	0.232	0.216	0.212	0.218	0.195	0.263				
WY1	0.344	0.171	0.073	0.081	0.104	0.119	0.097	0.090	0.090	0.079	0.184	0.165			
MT1	0.460	0.336	0.248	0.264	0.267	0.277	0.264	0.265	0.269	0.248	0.335	0.319	0.200		
MT2	0.346	0.211	0.111	0.126	0.136	0.149	0.120	0.120	0.118	0.113	0.207	0.190	0.048	0.201	
AB1	0.374	0.232	0.135	0.148	0.161	0.162	0.148	0.148	0.145	0.137	0.231	0.211	0.072	0.206	0.066
AB2	0.405	0.278	0.182	0.200	0.208	0.216	0.189	0.194	0.196	0.183	0.277	0.259	0.126	0.259	0.110

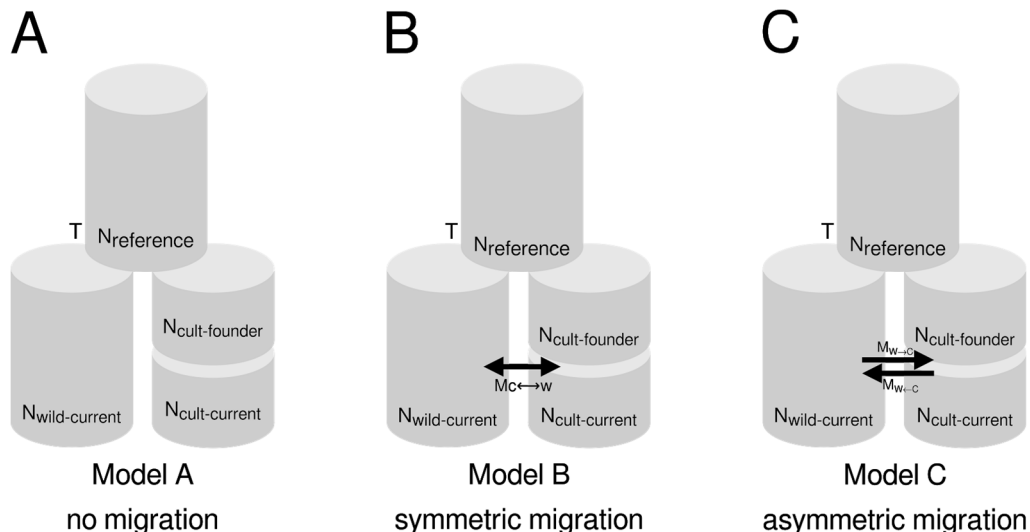


Figure S1. Schematic representations of demographic models fitted using $\delta\text{a}\delta\text{i}$. Estimated parameters are noted with text for each model.

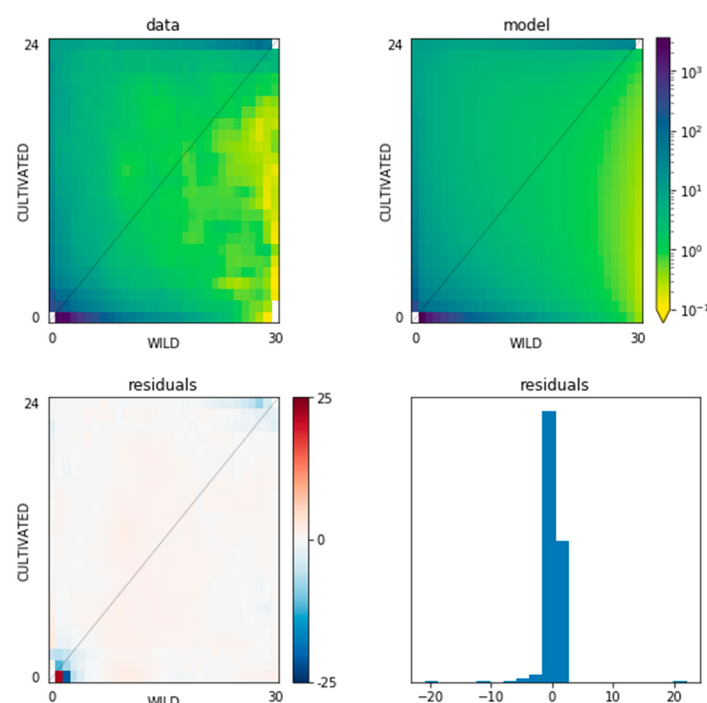


Figure S2. $\delta\text{a}\delta\text{i}$ analysis of model C. Upper panels are the observed and expected site frequency spectra. Lower panels are a heat map and histogram of residuals.